

Galactoceles al nivel del cuadrante inferoexterno de la mama izquierda

Galactocele at inferoexternal level of left breast

María Elena Moreno Díaz,^I Myriam de la Caridad Rodríguez Menéndez,^{II}
Cristóbal Severino Adán Vidal^{III}

^I Especialista de I Grado en Imaginología. Especialista de I Grado en Medicina General Integral. Aspirante a Investigadora. Hospital Clínicoquirúrgico "Hermanos Ameijeiras". La Habana, Cuba.

^{II} Especialista de I Grado en Imaginología. Instructora. Hospital Clínicoquirúrgico "Hermanos Ameijeiras". La Habana, Cuba.

^{III} Especialista de I Grado en Imaginología. Hospital Clínicoquirúrgico "Hermanos Ameijeiras". La Habana, Cuba.

RESUMEN DEL CASO

Paciente femenina de 25 años, la cual tuvo un parto hace 2 años y durante el período de la lactancia se notó la presencia de nódulos en la mama izquierda (MI). Al examen físico se constató, a la palpación, nódulos de consistencia firme, ligeramente movibles hacia el cuadrante inferoexterno (CIE). No presentaba secreción por el pezón ni otras alteraciones al nivel de ambas mamas. Se le realizó ultrasonido de ambas mamas (US) y mamografía (Mx), mediante los cuales se obtuvieron los siguientes hallazgos al nivel de la MI. Ambos estudios en la mama derecha no mostraron alteraciones.

Estudios imaginológicos



Fig. 1. US de mama donde se observa imagen nodular Compleja, al nivel del CIE de la mama izquierda, con algunas calcificaciones pequeñas en su interior.

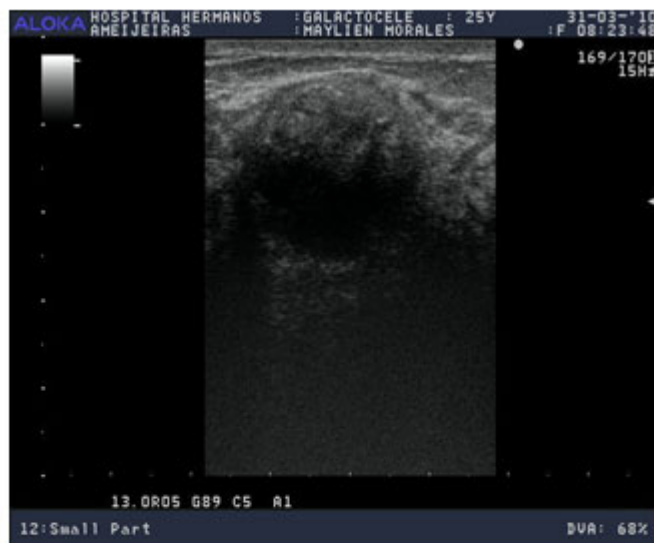


Fig. 2. Imagen similar a la anterior en el CIE de la MI. Nótese el nivel que separa el contenido graso (ecogénico) del resto del contenido menos denso de la lesión, se observa refuerzo posterior y pequeñas calcificaciones en su interior.

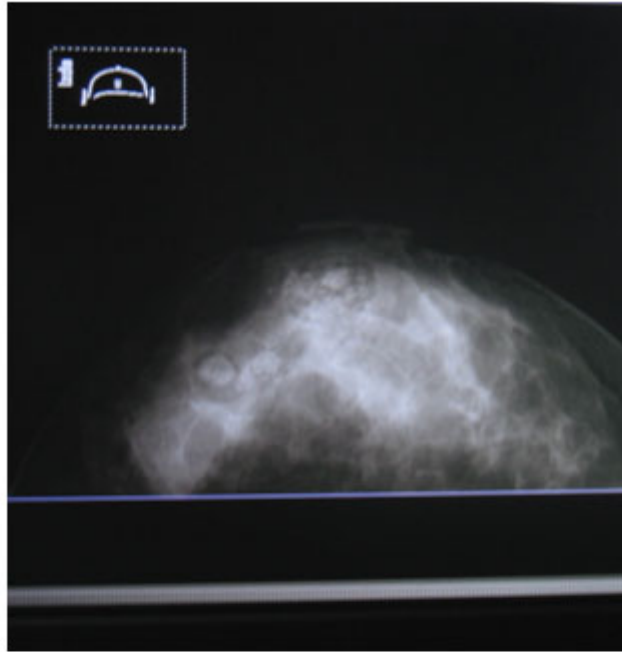


Fig. 3. Mx de la mama izquierda (vista craneo-caudal): Mama con un patrón moderadamente denso. Hacia el hemisferio externo se observan 4 imágenes nodulares de contornos bien delimitados y densidad heterogénea, la mayor de 2,4 x 2,2 cm que no producen distorsión del patrón mamario vecino.

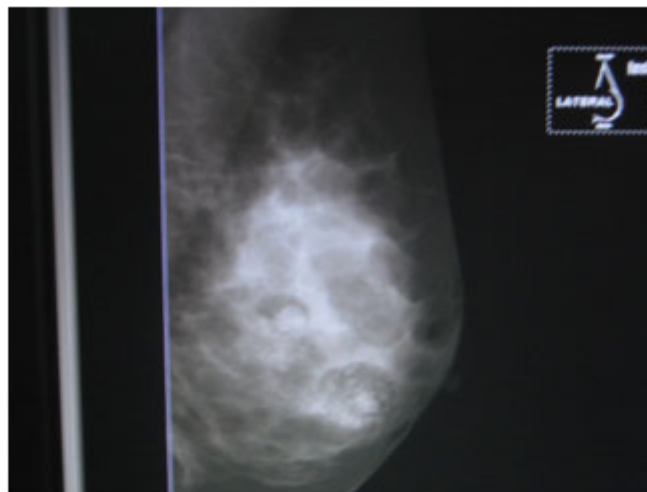


Fig. 4. Vista lateral de la MI donde las imágenes nodulares se localizan hacia el hemisferio inferior. Nótese que la porción superior de las mismas muestra baja densidad en relación con contenido graso con tendencia a formar un nivel grasa- líquido por encontrarse la paciente de pie.

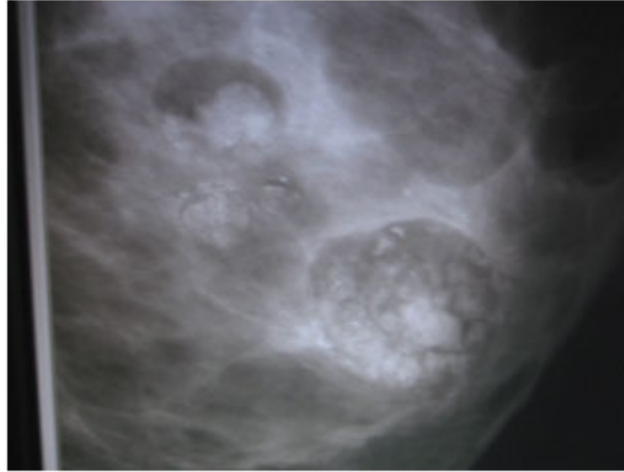


Fig. 5. Magnificación de la vista anterior donde se aprecian con más detalles las 4 lesiones y la presencia de pequeñas calcificaciones en su interior.

Se realizó la punción de las lesiones y se obtuvo material de contenido lácteo.